

Haos u kretanju asteroida u Sunčevom sistemu

Zlatko Papić¹

Matematička gimnazija, Beograd

2000 Maj

¹Murmanska 4, 11160 Beograd, tel. 3406476, 426015, E-mail: papiczz@EUnet.yu

APSTRAKT

Ovde je predstavljen jedan aspekt haosa u prirodi koji se odnosi na dinamiku planetarnih sistema i kretanje malih tela u njima. Usled analitičke nerešivosti datog problema i poteškoća koje se u tom prilazu javljaju (poglavlje 1), izvršena je numerička integracija orbita 10 asteroida u intervalu od 10 miliona godina i rezultati predstavljeni, zajedno sa nekim mogućim uzrocima haosa koji je pri tome uočen, kao i uloga i značaj sopstvenih elemenata malih planeta (poglavlje 2). Na kraju (poglavlje 3), navedene su i neke od primena haosa u nebeskoj mehanici (ocena starosti asteroidnih familija, dinamika potencijalno opasnih asteroida, transport kosmičkog materijala, meteorita i asteroida, do Zemlje).

1 Uvod: o problemu N tela

U ovom poglavljiju će biti ukratko predstavljene jednačine problema N tela, njihova poznata rešenja, kao i metode pomoću kojih se do nepoznatih rešenja teorijski i praktično (do na određenu, zadatu, tačnost) može doći.

Neka se sistem N tela sastoji od materijalnih tačaka masâ m_i i radijus-vektora \mathbf{r}_i , gde je $i = 1, 2, \dots, n$, i \mathbf{r}_i su izraženi u odnosu na inercijalni referentni sistem. Neka je

$$r_{ij} = |\mathbf{r}_j - \mathbf{r}_i|, \quad (r_{ij} = r_{ji}), \quad (3)$$

tada je jednačina kretanja tela m_i

$$m_i \ddot{\mathbf{r}}_i = -\gamma m_i \sum_{j=1}^n m_j \frac{\mathbf{r}_i - \mathbf{r}_j}{r_{ij}^3}. \quad (1)$$

Sumiranje isključuje slučaj $j = i$, što bi proizvelo neodredjenost razlomka, te ovo ubuduće neće biti naglašavano. Ovaj sistem diferencijalnih jednačina je nemoguće rešiti u konačnoj formi jer je potrebno poznavati $6n$ skalarnih integrala, od čega je, u stvarnosti, moguće odrediti 10.

Ako se saberu sve jednačine oblika (1), svи članovi na desnoj strani će se skratiti, i imaćemo

$$\sum_{i=1}^n m_i \ddot{\mathbf{r}}_i = 0.$$

Ovo se može odjednom integraliti, pri čemu se dobija

$$\sum_{i=1}^n m_i \mathbf{r}_i = \mathbf{a}t + \mathbf{b}, \quad (2)$$

gde su \mathbf{a} i \mathbf{b} konstantni vektori. Relacija (2) znači da se centar mase sistema kreće, u odnosu na (inercijalni) referentni sistem, pravolinijski i konstantnom brzinom. Stoga

možemo uzeti koordinatni početak u centru mase sistema, gde je

$$\sum_{i=1}^n m_i \mathbf{r}_i = 0,$$

i jednačine (1) će i dalje važiti.

Pomnožimo li (1) vektorski sa $\mathbf{r}_i \times$ i saberemo dobijenih n jednačina, svi članovi na desnoj strani se skraćuju, i dobijamo

$$\sum_{i=1}^n m_i \mathbf{r}_i \times \ddot{\mathbf{r}}_i = 0,$$

ili

$$\sum_{i=1}^n m_i \mathbf{r}_i \times \dot{\mathbf{r}}_i = \mathbf{h}, \quad (3)$$

gde je \mathbf{h} konstantni vektor. Ovo je takozvani integral "površina."

Ravan kroz centar mase, upravna na \mathbf{h} , naziva se *invarijabilnom* ili *Laplaceovom ravnim* sistema. Kada se ova analiza primjenjuje rigorozno na fizički sistem treba biti oprezan. Integral ugaonog momenta je rezultat izolovanosti sistema, odnosno odsustva spoljašnjih sila i odražava činjenicu da je *ukupan* moment impulsu konstantan; on potiče od orbitalnih revolucija planeta i rotacije oko sopstvenih osa. Ako su sva tela čvrsta, sferno-simetrična i međusobno izolovana, postojaće i invarijskina ravan. U suprotnom, precesiona kretanja i efekti plinskog trenja doveće do razmene momenta impulsa, pa će se \mathbf{h} , kako je definisano u (3), menjati sa vremenom. Ipak, gornji uslovi su približno ispunjeni za naš planetarni sistem i u praksi možemo govoriti o invariabilnoj ravni Sunčevog sistema: ona otprilike ima elemente $\Omega = 107^\circ$ i $i = 1035'$, u odnosu na ravan ekliptike.

Dalje, može se definisati U , *funkcija sile sistema*, kao

$$U = \gamma \sum_{i < j} \sum_{j=1}^n \frac{m_i m_j}{r_{ij}}, \quad (4)$$

gde se uzima tačno jedno ponavljanje svake od kombinacija masâ m_i i m_j . Onda je komponentna sile odredjena sa

$$\frac{\partial U}{\partial x_i} = \gamma m_i \frac{\partial}{\partial x_i} \left(\sum_{j=1}^n \frac{m_j}{r_{ij}} \right)$$

i integral energije se može zapisati kao

$$= -\gamma m_i \sum_{j=1}^n m_j \frac{x_i - x_j}{r_{ij}^3}.$$

Odavde je moguće zapisati jednačinu (1) kao

$$m_i \ddot{\mathbf{r}}_i = \nabla_i U, \quad (5)$$

gde je

$$\nabla_i = \hat{\mathbf{i}} \frac{\partial}{\partial x_i} + \hat{\mathbf{j}} \frac{\partial}{\partial y_i} + \hat{\mathbf{k}} \frac{\partial}{\partial z_i}.$$

Pretpostavimo da želimo iznova organizovati naš sistem N tela. Počinimo sa m_1 na položaju \mathbf{r}_1 . Pri premeštanju tela m_2 iz beskonačnosti do \mathbf{r}_2 vrši se rad

$$-\gamma \frac{m_1 m_2}{r_{12}}.$$

Ako se sada premesti m_3 na \mathbf{r}_3 , dodatni rad iznosi

$$-\gamma \frac{m_1 m_3}{r_{13}} - \gamma \frac{m_2 m_3}{r_{23}}.$$

Ponavljajući prethodni postupak, vidi se da $-U$ predstavlja ukupnu potencijalnu energiju sistema.

Pomnožimo sada (5) skalarno sa $\dot{\mathbf{r}}_i$ i sabejmo svih n jednačina:

$$\sum_{i=1}^n m_i \dot{\mathbf{r}}_i \cdot \ddot{\mathbf{r}}_i = \sum_{i=1}^n \dot{\mathbf{r}}_i \cdot \nabla_i U$$

$$= \frac{dU}{dt}.$$

Integraljenjem ove relacije dobija se:

$$\frac{1}{2} \sum_{i=1}^n m_i \dot{\mathbf{r}}_i^2 = U + \text{const}, \quad (6)$$

što je integral energije. Neka je T kinetička energija sistema. Tada je

$$T = \frac{1}{2} \sum_{i=1}^n m_i \dot{\mathbf{r}}_i^2,$$

što predstavlja desetu konstantu integracije i kompletira analitička rešenja naprostijeg problema kretanja međusobno interagujućeg sistema N izolovanih tela koja je principijelno moguće dobiti.

Činjenica da je sistem N tela neresiv, ipak ne daje odgovor na pitanje da li je dati sistem (a cilj je, pre svega, pronaći odgovor za Sunčev sistem) stabilan ili ne. Fundamentalni radovi Laplasa (Laplace) i Lagrange (Lagrange) dokazali su analitički da se planetne kreće kvaziperiodično, do prvog reda po masama (u jednačinama kretanja), ekscentričnostima i nagibima planetских putanja², pa je glavni cilj nebeske mehanike 19. veka bio u konstruisanju kvaziperiodičnih rešenja za tela u Sunčevom sistemu pomoću računa poremećaja. Kasnije, Poankare (Poincaré) pokazuje da pošto je moguće formalno prikazati rešenja planetarnih jednačina kretanja u obliku beskonačnih redova, tada ovih redova u opštem slučaju nisu konvergentni. U drugoj polovini ovog veka, na osnovu **KAM**³ teoreme, je zaključeno da ako su poremećaji mali, odnosno mase, ekscentričnosti i inklinacije planeta dovoljno male⁴, onda veliki broj početnih uslova

²S obzirom na to da su odgovarajući odnosi masâ planetâ i Sunca reda veličine $\mu = \frac{m_\odot}{M_\odot} \sim 10^{-3}$ do 10^{-9} , a odgovarajuće ekscentričnosti i nagibi putanja (u radijanim) reda 10^{-2} , odgovarajući članovi u razvoju koji sadrže drugi i više stepene ovih veličina su zanemarljivi

³Kolmogorov-Arnold-Moser

⁴Pod "dovoljno malim" se podrazumeva da vrednosti odgovarajućih μ, e, i treba da budu svakako ispod 10^{-43} , što, evidentno, nema nikakav praktični značaj!

dovodi do kvaziperiodičnih rešenja. Sunčev sistem sasvim sigurno ne zadovoljava kriterijume ove teoreme. Ipak, naglo povećanje performansi računara, imalo je preponderantni uticaj na drugi, numerički, pristup problemu. Veliki broj obimnih simulacija dinamike Sunčevog sistema u poslednjih 10 godina samo je potvrdio njegovu haotičnost i gubitak prediktabilnosti već nakon 100 miliona godina⁵ (poremećaj reda veličine 10te značajne cifre početnih uslova doveo bi do 100% odstupanja nakon tog vremen-skog perioda i rešenje bi izgubilo svoj fizički smisao). Naravno, to ne znači da će posle navedenog vremena doći do katastrofalnih dogadjaja kao, na primer, presecanja orbita Zemlje i Venere, već da tradicionalne metode nebeske mehanike ne mogu tačno da predvide položaje i brzine tela Sunčevog sistema. Ipak, njegova velika starost (kao i starost i istorijski dosije planete Zemlje) de-centno ukazuju na znatan nivo stabilnosti.

Pošto je, dakle, isuviše složeno manipulisati Sunčevim sistemom takvim kakav je, odredjene aproksimacije u numeričkom pristupu se moraju primeniti. To se najčešće svodi na kompromis između brzine izvišavanja programa i željene tačnosti. Stoga je vrlo važno izvorni problem teorijski uprostiti koliko god je to dopustivo.

Pretpostavimo da je, kao što je to slučaj sa Suncem u našem planetarnom sistemu, jedna masa, m_n , dominantna. Uzmimo ko-ordinatni početak u centru m_n ; neka je vek-tor položaja tela m_i u novom sistemu \mathbf{r}'_i . Tada je

$$\mathbf{r}_i = \mathbf{r}'_i + \mathbf{r}_n.$$

Vrednosti r_{ij} se ovom transformacijom ne menjaju, pa je $\partial/\partial x'_i = \partial/\partial x_i$, itd. Sada je

$$U = \gamma m_n \sum_{j=1}^{n-1} \frac{m_j}{r_{nj}} + \gamma \sum_{i < j} \sum_{j=1}^{n-1} \frac{m_i m_j}{r'_{ij}}$$

⁵Ova procena je relativno paušalna, pošto različiti delovi Sunčevog sistema pokazuju drastične razlike u pitanju stabilnosti. (videti dalje u tekstu)

$$= \gamma m_n \sum_{j=1}^{n-1} \frac{m_j}{r_{nj}} + U'.$$

Dalje,

$$\nabla_i U = \nabla_i U' - \gamma m_n m_i \frac{\mathbf{r}'_i}{r_{in}^3}. (i \neq j)$$

Iz jednačine kretanja tela m_n se dobija:

$$\begin{aligned} \ddot{\mathbf{r}}'_n &= -\gamma \sum_{j=1}^{n-1} m_j \frac{\mathbf{r}_n - \mathbf{r}_j}{r_{nj}^3} \\ &= \gamma \sum_{j=1}^{n-1} m_j \frac{\mathbf{r}'_j}{r_{nj}^3}. \end{aligned}$$

Jednačina kretanja tela m_i glasi

$$\ddot{\mathbf{r}}'_i + \ddot{\mathbf{r}}_n = \frac{1}{m_i} \nabla_i U$$

ili

$$\ddot{\mathbf{r}}'_i + \gamma \sum_{j=1}^{n-1} m_j \frac{\mathbf{r}'_i}{r_{nj}^3} = \frac{1}{m_i} (\nabla_i U' - \gamma m_n m_i \frac{\mathbf{r}'_i}{r_{in}^3}).$$

Prebacimo li i član ispred sume, dobija se:

$$\begin{aligned} \ddot{\mathbf{r}}'_i + \gamma m_i \frac{\mathbf{r}'_i}{r_{in}^3} + \gamma \sum_{j=1, j \neq i}^{n-1} m_j \frac{\mathbf{r}'_i}{r_{nj}^3} &= \frac{1}{m_i} (\nabla_i U' - \gamma m_n m_i \frac{\mathbf{r}'_i}{r_{in}^3}), \end{aligned}$$

ili, preimenovanjem promenljivih \mathbf{r}'_i sa \mathbf{r}_i , što se sme uraditi pošto se sada u potpunosti nalazimo u novom referentnom sistemu,

$$\ddot{\mathbf{r}}_i + \gamma(m_n + m_i) \frac{\mathbf{r}_i}{r_{in}^3} = \frac{1}{m_i} \nabla_i U' -$$

$$\gamma \sum_{j=1, j \neq i}^{n-1} m_j \frac{\mathbf{r}_j}{r_{jn}^3}. \quad (7)$$

Neka je sada

$$R_{ij} = \gamma \left(\frac{1}{r_{ij}} - \frac{\mathbf{r}_i \cdot \mathbf{r}_j}{r_{jn}^3} \right). \quad (8)$$

Onda je

$$m_j \nabla_i R_{ij} = \gamma \nabla_i \left(\frac{m_j}{r_{ij}} \right) - \gamma m_j \frac{\mathbf{r}_j}{r_{jn}^3},$$

i

$$\sum_{j=1}^{n-1} m_j \nabla_i R_{ij} = \frac{\gamma}{m_i} \sum_{j=1}^{n-1} \nabla_i \left(\frac{m_i m_j}{r_{ij}} \right) - \gamma \sum_{j=1}^{n-1} m_j \frac{\mathbf{r}_j}{r_{jn}^3} = \frac{1}{m_i} \nabla_i U' - \gamma \sum_{j=1}^{n-1} m_j \frac{\mathbf{r}_j}{r_{jn}^3}.$$

Kombinujući ovaj rezultat sa (7), dobijamo

$$\ddot{\mathbf{r}}_i + \gamma(m_n + m_i) \frac{\mathbf{r}_i}{r_{in}^3} = \sum_{j=1}^{n-1} m_j \nabla_i R_{ij}. \quad (9)$$

Jednačine (9) su fundamentalne. Ako su R_{ij} jednaki nuli, sve se svodi na (prost) slučaj kretanja dva tela, pa su upravo R_{ij} članovi „odgovorni“ za sve poremećaje i razlike u odnosu na keplerovsko kretanje. Oni se zato izovu *funkcijama poremećaja*.

Napomenimo samo da se jednačina (9) može napisati u sledećem obliku:

$$\ddot{\mathbf{r}}_i + \gamma(m_n + m_i) \frac{\mathbf{r}_i}{r_{in}^3} = \gamma \sum_{j=1, j \neq i}^{n-1} m_j \left(\frac{\mathbf{r}_j - \mathbf{r}_i}{r_{ij}^3} - \frac{\mathbf{r}_j}{r_{jn}^3} \right). \quad (10)$$

Prvi član na desnoj strani prethodne jednačine predstavlja *direktnе* uticaje poremećajnih tela na telo m_i ; drugi član označava *indirektnе* uticaje, koji se vrlo često (pogrešno) zanemaruju, a predstavljaju uticaj velikih planeta na koordinatni početak.

U slučaju asteroida⁶ (u Sunčevom sistemu, jednačina (10) poprima sledeći oblik

$$\ddot{\mathbf{r}}_i + M \gamma \frac{\mathbf{r}}{r^3} = \sum_{i=1}^9 m_i \gamma \left(\frac{\mathbf{r}_i - \mathbf{r}}{|\mathbf{r}_i - \mathbf{r}|^3} - \frac{\mathbf{r}_i}{r_i^3} \right), \quad (11)$$

⁶Pod ‘asteroidom’ (sin. mala planeta) se podrazumeva planetoidno telo malih dimenzija, do oko 1000 km u prečniku

gde je M - masa Sunca, \mathbf{r} -vektor položaja tela, a sumiranje se vrši po devet velikih planeta⁷ i povećanju njihovih srednjih udaljenosti od Sunca (koordinatni početak je uzet u centru Sunca), pri čemu $i = 1$ odgovara Merkuru itd.

Osim ako telo ne prolazi blizu neke planete, najveći doprinos desnoj strani jednačine (11) potiče od Jupitera, m_5 , dok su efekti ostalih planeta relativno mali. Ova aproksimacija proizlazi iz činjenice da je najveći broj asteroida skoncentrisan na lokaciji tzv. Glavnog asteroidnog pojasa, ilustrovanoj na slici 7, koji se proteže između orbita Marsa i Jupitera. U slučaju transneptunskih asteroida, najveći doprinos desnoj strani jednačine (11) potiče od Neptuna i tako dalje, u zavisnosti od konkretnog problema. Sledi da je u praksi i neophodno moguće pojednostaviti (11), s tim što je svaki korak potrebno teorijski potkrepliti.

Uticaj Plutona se može sasvim zanemariti zbog njegove male mase (nekoliko redova veličine manje od mase velikih spoljašnjih planeta) i velike udaljenosti. Ovo nije slučaj kod Merkura gde se indirektni članovi u (11) ne mogu zanemariti; oni imaju oblik:

$$-\frac{m_1 \gamma \mathbf{r}_1}{r_1^3},$$

što je ekvivalentno sa

$$\frac{m_1}{M + m_1} \ddot{\mathbf{r}}_1 = \ddot{\mathbf{r}}_1,$$

gde je $\bar{\mathbf{r}}_1$ centar mase Sunca i Merkura. Odатле se (11) može napisati kao

$$\frac{d^2}{dt^2} (\mathbf{r} - \bar{\mathbf{r}}_1) + M \gamma \frac{\mathbf{r}}{r^3} = \sum_{i=1}^8 m_i \gamma \frac{\mathbf{r}_i - \mathbf{r}}{|\mathbf{r}_i - \mathbf{r}|^3} -$$

$$-\sum_{i=2}^8 m_i \gamma \frac{\mathbf{r}_i}{r_i^3}. \quad (12)$$

⁷U ovom razmatranju Pluton je smatrana jednom od velikih planeta.

U praktičnom radu često je vrlo pogodno zanemariti i sve četiri unutrašnje planete pošto su njihove direktnе perturbacije male⁸, a indirektnе se mogu apsorbovati baricentričnom popravkom, odnosno prelaskom u sistem sa koordinatnim početkom u centru mase Sunca i planeta Zenljinog tipa. Ako je ova tačka određena sa $\bar{\mathbf{r}}_4$, onda

$$\frac{d^2}{dt^2}(\mathbf{r} - \bar{\mathbf{r}}_4) + M\gamma\frac{\mathbf{r}}{r^3} = \sum_{i=1}^8 m_i\gamma\frac{\mathbf{r}_i - \mathbf{r}}{|\mathbf{r}_i - \mathbf{r}|^3} - \sum_{i=5}^8 m_i\gamma\frac{\mathbf{r}_i}{r_i^3}. \quad (13)$$

Ako je telо dovoljno daleko od četiri unutrašnje planete za $r \gg r_i, i = 1, 2, 3, 4$, onda

$$\frac{\mathbf{r}_i - \mathbf{r}}{|\mathbf{r}_i - \mathbf{r}|^3} \sim \frac{\mathbf{r}}{r^3}.$$

Takodje, $\bar{\mathbf{r}}_4$ je uvek malo, manje od $5 \times 10^{-6} AJ$, pa se za veliko r može uzeti

$$\mathbf{r} - \bar{\mathbf{r}}_4 = \mathbf{r}'$$

i 2 Uzroci i ispitivanje haosa u kretanju asteroida

Neka je

$$M_4 = M + \sum_{i=1}^4 m_i;$$

tada jednačina (11) glasi:

$$\frac{d^2\mathbf{r}'}{dt^2} + \gamma M_4 \frac{\mathbf{r}'}{r'^3} = \sum_{i=5}^8 m_i\gamma\left(\frac{\mathbf{r}'_i - \mathbf{r}'}{|\mathbf{r}'_i - \mathbf{r}'|^3} - \frac{\mathbf{r}_i}{r_i^3}\right). \quad (14)$$

⁸Osim toga, uključivanje npr. Merkura u simulaciju bi zahtevalo upotrebu vrlo malog vremenskog koraka da bi se greška numeričke metode držala u granicama tolerancije, analogno važi i za sistem Zemlja-Mесec, itd.

Model Sunčevog sistema (koji je korišćen u ovom radu u okviru softverskog paketa *ORBIT9x*) zasniva se na gore pomenu-poremećaje svih velikih planeta, simultano izračunavajući njihove orbite zajedno sa orbitama probnih telâ. Unutrašnje planete su izostavljene iz direktnе integracije, ali je primenjena baricentrična popravka na početne uslove, što, u principu, pokriva 90% direktnih efekata (vidi Milani i Knežević, 1992). *ORBIT9x* koristi precizan multi-step integrator (za početne korake se koristi simplektički Runge-Kutta metod) i omogućava praćenje orbita tela u, pre svega, Sunčevom sistemu, u okviru različitih dinamičkih modela i dugih vremenskih intervala. Eksperimentalni uzorak za svrhu ovog rada uključuje 10 numerisanih, realnih, asteroida čiji su orbitalni elementi preuzeti od Minor Planet Centra i stoga se mogu smatrati preciznim (provereni astrometrijskim posmatranjima u više opozicija).

(reda $10^{-4} AJ$); u slučaju haotičnog tela (sl.4), ovaj grafik se odlikuje (očekivanim) nepravilnostima, *random walk-om*, iznenadnim skokovima i velikim oscilacijama, privremenim zahvatima u rezonancu (ovde, na oko 1 milion godina ili, na slici 2 između 6 i 7 miliona godina) itd. Slike 1 – 4 pokazuju zavisnost promena velikih poluosa sa vremenom nekih asteroida iz uzorka koji je posmatran u ovom radu, počev od stabilnih (sl.1), preko srednje haotičnih (sl. 2, 3), do izrazito haotičnih (sl.4). Podaci su filtrirani tako da su uklonjeni (iako ne besprekorno) poremećajji sa periodima između 40 i 4000 godina.

Prethodni postupak je u velkoj meri samo preliminarni i može poslužiti samo sticanju grube slike o ponašanju asteroida. Formalnije, haos se obično opisuje i meri pomoću takozvanog *karakterističnog eksponenta Ljapunova* (u oznaci *LCE*) koji predstavlja meru divergencije dve, početno bliske orbite, u faznom prostoru orbitalnih elemenata:

$$\lambda = \lim_{t \rightarrow \infty} \gamma(t) = \lim_{t \rightarrow \infty} \frac{1}{t} \ln \left| \frac{\delta X(t)}{\delta X_0} \right|. \quad (15)$$

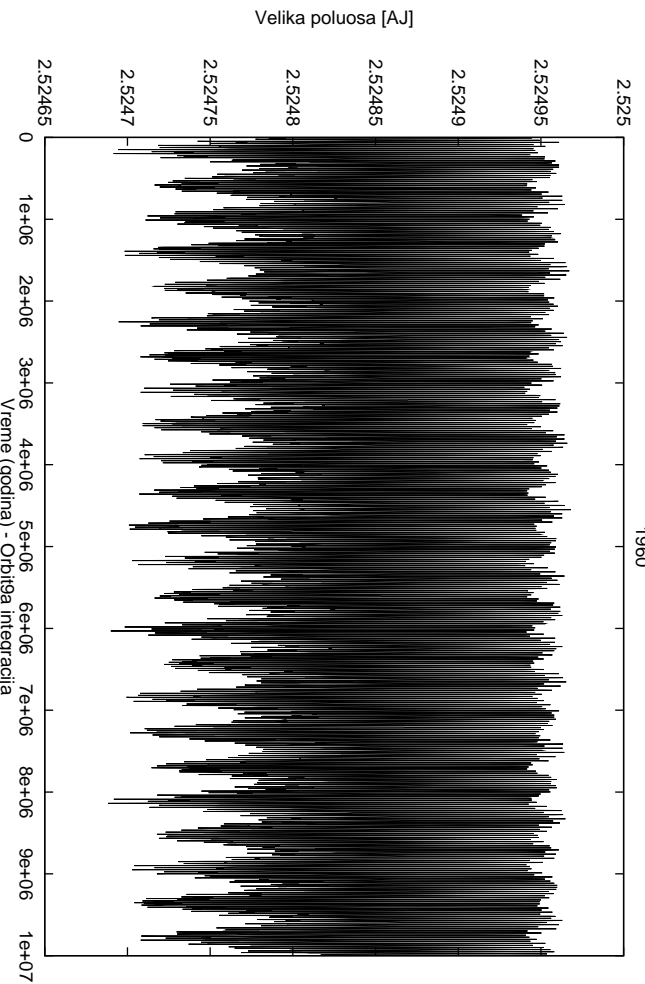
Karakteristično vreme Ljapunova (T_L) je veličina inverzna *LCE*u, i često jednostavnija da se interpretira nego sam eksponent Ljapunova. Vreme Ljapunova se može definisati kao vreme potrebitno da bi se rastojanje između divergirajućih orbita uvećalo e puta:

$$T_L = 1/\lambda.$$

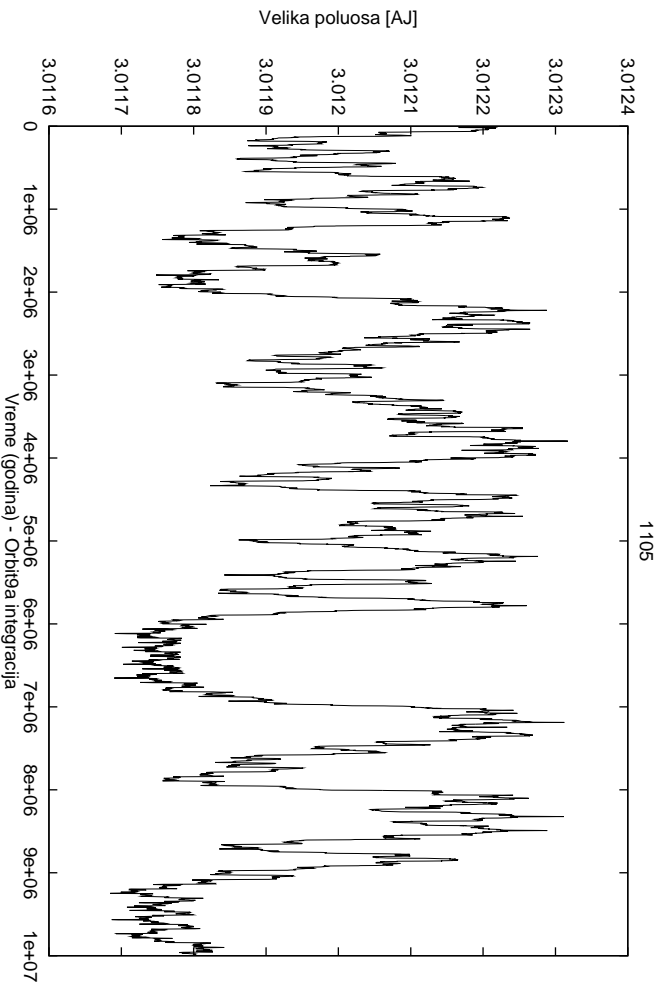
Kod većine konzervativnih dinamičkih sistema, Njutnovе jednačine imaju i regularna i haotična rešenja; za neke početne uslove, kretanje je kvaziperiodično, za druge je haotično. Upravo način na koji bliske trajektorije divergiraju odvaja haotično ponašanje od kvaziperiodičnog. Za haotične trajektorije najveći Ljapunovljev eksponent je pozitivan; za kvaziperiodične trajektorije

svi karakteristični eksponenti Ljapunova su jednaki nuli.

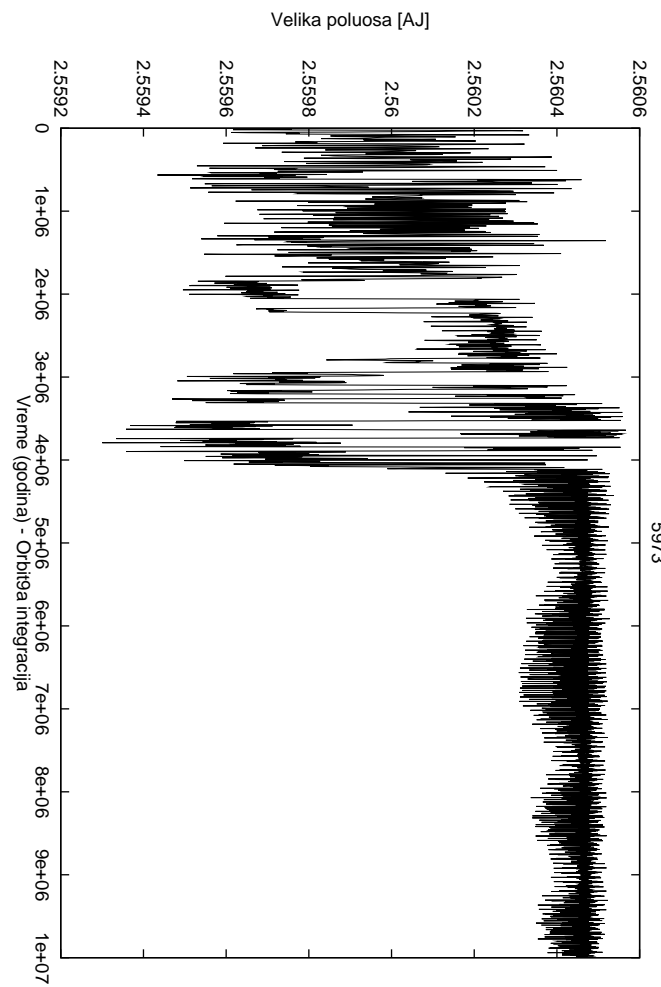
Stabihe orbite su one čije su varijacije orbitalnih elemenata pravine a *LCE* mali (odnosno, odgovarajuće vreme Ljapunova dugo). Dve inicijelno bliske stabilne orbite ostaju blizu jedna druge u faznom prostoru ili se razilaze vrlo sporo. Obično se uzima vrednost $T_L \sim 10^5$ godina za graničnu između haosa i stabilnosti, ali to je, na kraju, stvar konvencije. Na slikama 5 i 6 prikazane su vrednosti $\gamma(t)$ na primeru jednog stabilnog (1995) i jednog haotičnog (1670) asteroida. Razlika je očigledna: u slučaju haotičnog, γ raste gotovo linearno sa vremenom i, nakon 10 miliona godina, dostiže oko 830, što daje približnu vrednost za $T_L \sim 12000$ godina (što se, u principu, nalazi linearnim fitovanjem). Pošto je ova vrednost dobijena za konačan vremenski interval a T_L se definiše za $t \rightarrow \infty$, ona u stvarnosti može da varira za $\pm 20\%$. Oblik zavisnosti kod stabilnog asteroida (1995) ima sasvim drugačiji izgled, ne prati linearni trend a bliske orbite se praktično ne razilaze. Treba napomenuti da asteroidi ne mogu biti "manje" haotični od poremećajnih velikih planeta, koje imaju vremena Ljapunova oko $\simeq 5$ miliona godina (Laskar, 1989), u slučaju spoljnih planeta nešto više (Nobili 1989). Primudni haos, koji je očigledno inherentan telima u Sunčevom sistemu, nije razmatran u ovom radu, već onaj koji potiče od ponašanja u rezonanci i od nepravilnosti u kretanju samog asteroida.



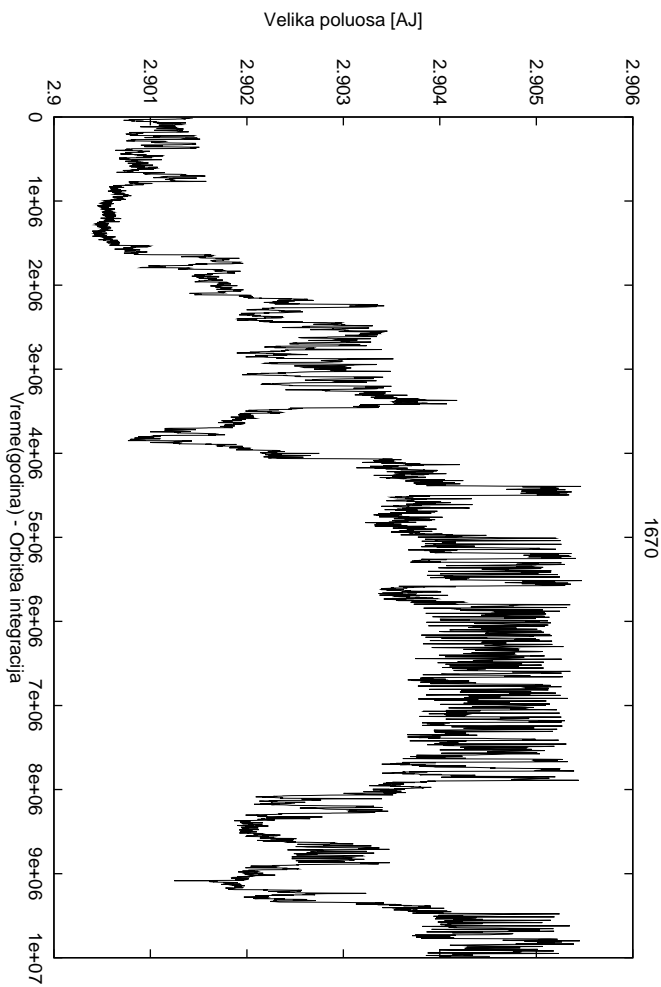
Slika 1: Grafik zavisnosti velike poluose asteroida 1960 od vremena



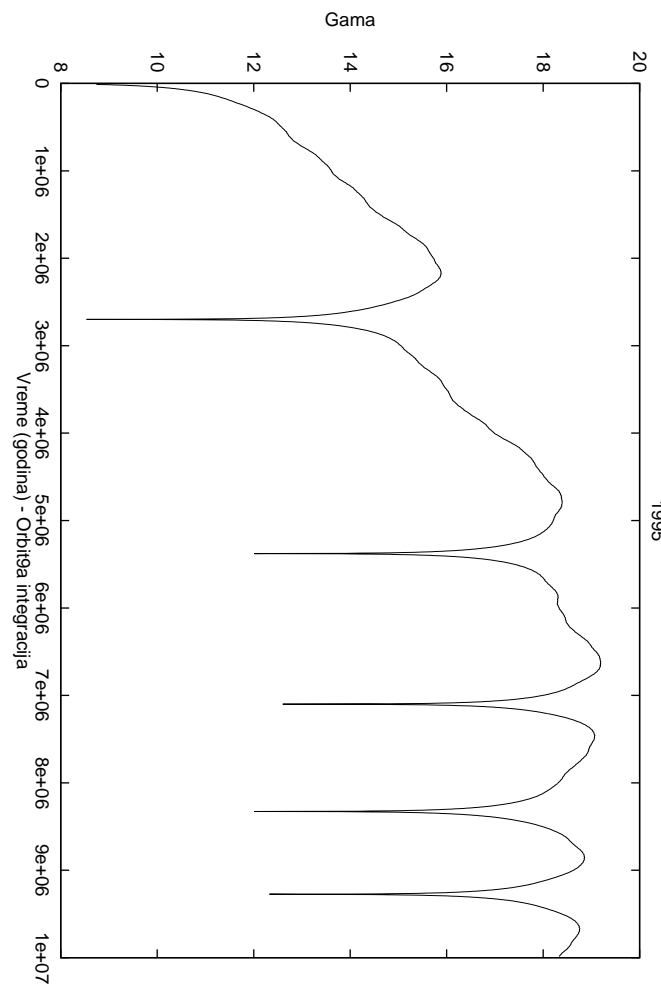
Slika 2: Grafik zavisnosti velike poluose asteroida 1105 od vremena



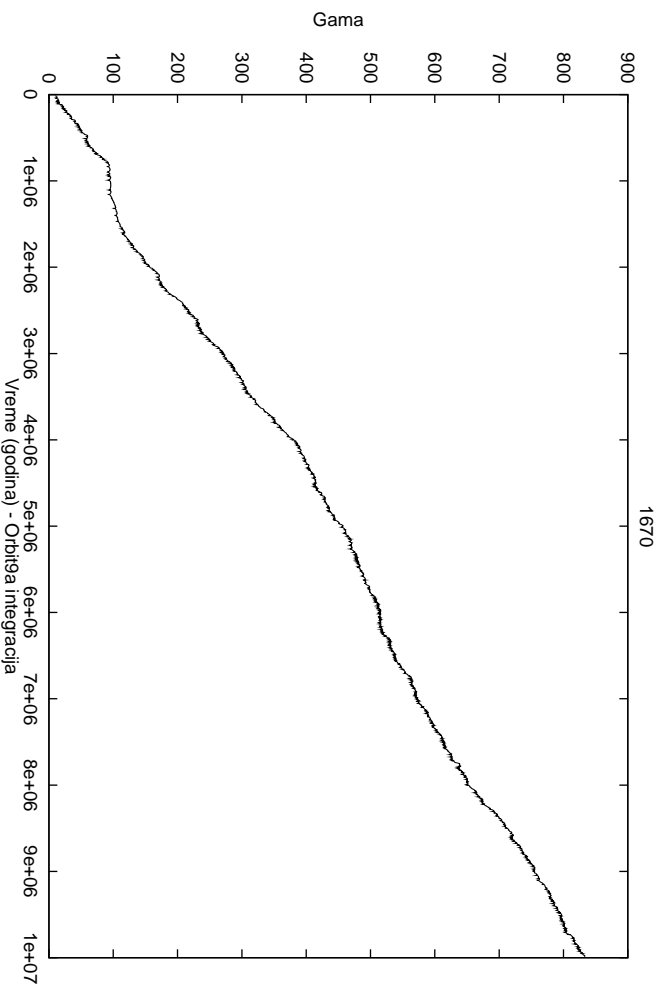
Slika 3: Grafik zavisnosti velike poluose asteroida 5973 od vremena



Slika 4: Grafik zavisnosti velike poluose asteroida 1670 od vremena



Slika 5: Grafik zavisnosti γ asteroida 1995 od vremena



Slika 6: Grafik zavisnosti γ asteroida 1670 od vremena

Nedavno je (v.[5]) ustanovljeno da haos ne mora obavezno da podrazumeva i makroskopsku nestabilnost. Naime, uočena je treća klasa orbita koje odlikuje kratko vreme Ljapunova (što bi ove objekte svrstalo među haotične), ali koji ne pokazuju nikakve značajnije varijacije sopstvenih elemenata (vidi kasnije) u toku vremenskih intervala koji više struko premašuju odgovarajuća vremena Ljapunova; njihovi sopstveni elementi osciluju, ali pritom samo u okviru određenih, uskih, granica, te su ovi objekti nesumnjivo stabilni. Stoga je pomemnuti fenomen i označen kao *stabilni haos*.

Ponašanje haotične orbite tokom dugih vremenskih intervala (nekoliko redova veličine dužih od vremena Ljapunova) prevashodno zavisi od prirode *rezonance* koja taj haos uzrokuje. Dublje objašnjenje samog pojma rezonance, kao i svih njenih fizičkih implikacija, prevazilazi i prostor i svrhu ovog rada, te će ovdje biti data samo neka neophodna pojašnjenja.

Čak u dinamički najjednostavnijem sistemu od centralnog tela i samo dve planete, postoji 6 stepeni slobode, po 3 prostorna za svaku planetu. Tako, ono što se na prvi pogled čini samo kao sistem sa dve karakteristične frekvencije (frekvencije revolucija dveju planeta oko Sunca) je, u stvari, sistem sa 6 frekvencija. Dve od njih su očigledno one koje se odnose na revoluciju planeta oko Sunca; ostale 4 su mnogo sporije frekvencije precesije parametara *orijentacije* orbita. Postojanje i brzih i sporih stepeni slobode proizvodi raznovrsnost fenomena orbitalnih rezonanci.

Dva su tipa orbitalnih rezonanci. Intuitivno očigledniji, koji se označava prosti kao *orbitalna rezonanca* ili *rezonanca u srednjem kretanju*, nastaje usled (približne) samerljivosti orbitalnih perioda planeta ili satelita. Drugi tip, najčešće označavan kao *sekularna rezonanca*, se odnosi na

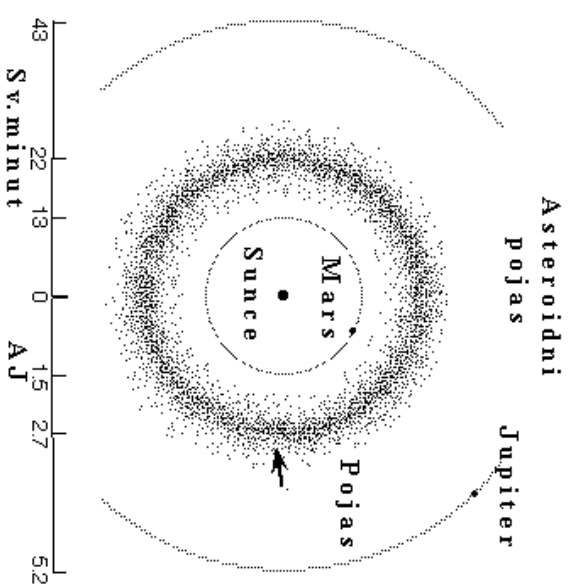
spore frekvencije precesije parametara orientatione orbita. Primeri posmatračkih činjenica koje se objašnjavaju razonantnim dejstvom obuhvataju pre svega *Kirkwoodove izmedju Marsa i Jupitera* (to su deficiti u broju asteroida na lokacijama koje grubo odgovaraju položajima rezonanci u srednjem kretanju nižeg reda sa Jupiterom), zatim prenos materijala iz Glavnog asteroidnog pojasa do Zemlje, formiranje planetarnih sistema (dinamika planetezimala, transport i reorganizacija planetezimalka i, konačno, čišćenje planetezimalnih ostataka iz interplanetarnog prostora), uopšte, dinamička stabilitet planetarnih sistema i, konačno, prsten meteoroidnih i čestica prasme koje se usled *Poynting-Robertsonovog efekta* spiralno kreću, zahvaćene u dugovečne orbitalne rezonance sa Zemljom. Prethodni primjeri ukazuju na mehaničke rezonance, uzrokovanе gravitacionim interakcijama; nasuprot njima, zračenje i elektromagnetske sile takođe mogu biti dobar izvor poremećaja i indukovati rezonantne efekte (*Lorenzove (Lorentz) rezonance* u prstenu oko Jupitera).

Ukratko, ukoliko je sekularna rezonanca dominantna u dinamičkoj evoluciji asteroida, nestabilnosti mogu biti velike i javiti se u toku vremenskog intervala reda veličine vremena Ljapunova, recimo $\simeq 10^4$ godina (videti dalje: asteroid 5973); ako se, pak, radi o rezonanci u srednjem kretanju i nižeg reda, makroskopski efekti (nestabilnosti) takođe mogu nastati za relativno kratko vreme, recimo $\simeq 10^6 - 10^7$ godina; ako je orbita u početnom trenutku "okružena" samo rezonancama višeg reda, orbita može biti haotična, ali nestabilnosti, ako do njih uopšte i dodje, mogu se javiti tek u toku vremenskih intervala nekoliko redova veličine dužih od vremena Ljapunova.

Zanimljiv je slučaj asteroida 5973, čija je

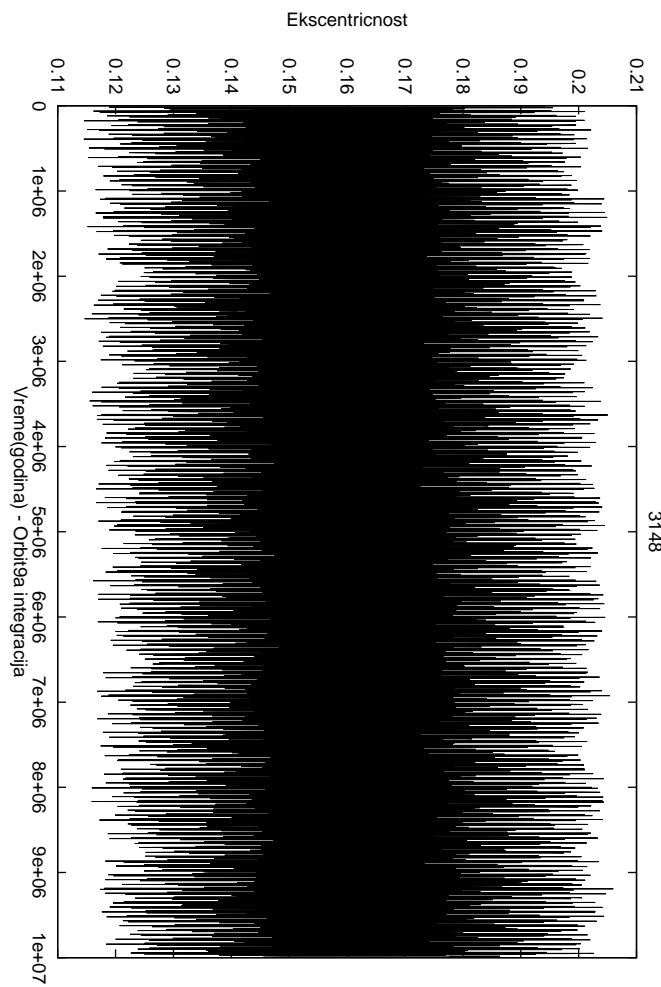
grafiku 3. Naime, do trenutka od približno 4 miliona godina, dati asteroid se ponaša haotično i ispoljava, već spomenute, velike irregularnosti u kretanju, da bi se zatim vrlo naglo stabilizirao (promene vrednosti ve-like poluose putanje postaju reda 10^{-4} !). Iz mape rezonanci, koja je priložena u Mi-lani i Knežević, 1994 (v. [4]), se vidi da se u okolini $2.564J$ preklapa nekoliko sekularnih rezonanci, što objašnjava karakteristično ponašanje ekscentričnosti putanje tokom vremena (sa 2 uočljiva moda), dato na slici 9 (uporediti sa ekscentričnošću "običnog" haotičnog asteroida, na slici 8). Ovo je i dobar primer medjusobne spregnutosti u ponašanju elemenata; različite haotične efekte moguće je nezavisno uočiti i potom tumačiti na osnovu, recimo, ponašanja ve-like poluose i ekscentričnosti. Pravi uzrok haosa kod asteroida 5973 mogao bi se utvrditi jedino produženom integracijom, pošto je kod nagiba datog asteroida prisutan izvestan trend, koji može biti ili posledica haotične difuzije ili prosti uzlazni deo neke verijacije koja je posledica uticaja sekularne rezonance, perioda dužeg od 10 miliona go-dina.

sopstvena velika poluosa (a), sopstvena ekscentričnost (e) i sopstveni nagib (dat u obliku svoje trigonometrijske funkcije $\sin I$). Najačnija upotreba sopstvenih elemenata (za identifikaciju asteroidnih familija) data je u poglavljju (3). Danas se u teoriji sopstvenih elemenata teži, pre svega, specijalizaciji metoda za određene grupacije malih planeta ili subpopulacije u okviru asteroidnog pojasa, sa ciljem povećanja tačnosti (uz posledicu smanjenja opštosti). Tako postoji analitički model za asteroide malih i umerenih ekscentričnosti i nagibâ (Milani, Knežević), semianalitička teorija primenljiva na objekte visokih ekscentričnosti i nagibâ (Lemaître, Morbidelli) ili, recimo, na tela u okolini sekularnih rezonanci (Morbidelli). Tačnost koju ovi modeli nude kreće se oko $10^{-3} - 10^{-4}$, u zavisnosti od modela i haotičnosti samog asteroida.

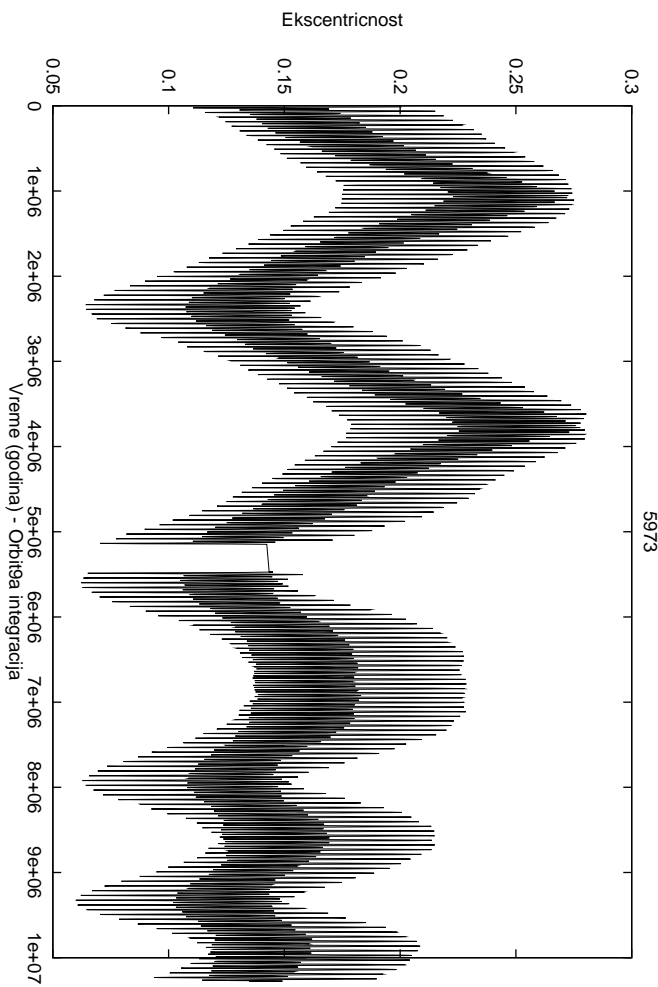


pojednostavljenog sistema diferencijalnih jednačina koje približno opisuju kretanje datog asteroida. Ukoliko je takve parametre moguće naći, onda se oni označavaju kao

Slika 7: Pozicija Glavnog asteroidnog po-
jasa u Sunčevom sistemu



Slika 8: Grafik zavisnosti ekscentričnosti asteroida 3148 od vremena



Slika 9: Grafik zavisnosti ekscentričnosti asteroida 5973 od vremena

3 Neke primene haosa

Haos može biti korišćen kao časovnik, odnosno pokazatelj starosti asteroidnih familija. Familije su grupacije objekata nastalih u razornim sudarima od roditeljskog tela. Iako se, uz puno napora, veće familije mogu uočiti u faznom prostoru oskulatornih elemenata, kao povećana koncentracija u blizini roditeljskog tela, već nakon nekoliko miliona godina grupacije ovog tipa se osipaju u tolikoj meri da je nemoguće izvršiti bilo kakvu pouzdanu identifikaciju. Već pomenuti sopstveni elementi se pokazuju kao mnogo pogodniji u tu svrhu zato što, po definiciji, predstavljaju invariјante kretanja. U stvarnosti, oni su samo približno nepromenljivi u vremenu, ali *haotična difuzija* koja se kod njih odigrava je dovoljno spora da se familije *ipak* mogu prepoznati i pouzdano odrediti i miliardu godina posle formiranja. Postoje, međutim, asteroidi koji usled haotične difuzije "lutaju" faznim prostorom sопствenih elemenata dovoljno brzo da, ukoliko su članovi familije, mogu da izadju iz oblasti koju zauzima njihova familija u tom faznom prostoru nakon određenog karakterističnog vremena koje je reda $10^6 - 10^9$ godina i manje od vremena života Sunčevog sistema. Karakteristično vreme, u ovom slučaju, može da posluži kao gornja granica za starost familije, što se može, svakako, koristiti samo u statističkom smislu, pošto je haotična difuzija po svojoj prirodi slučajan proces.

Metod "haotične hronologije" je nedavno primenjen na slučaj relativno male i prilično kompaktne familije *Veritas*, koja se nalazi u blizini nekoliko orbitalnih rezonanci višeg reda. Kretanje njenih dva glavnih člana, uključujući i najveće telo familije, 490 *Veritas*, je tipičan primer stabilnog haosa. Sopstveni elementi ova dva tela menjaju se zbog haotične difuzije, zbog čega napuštaju

granice familije za manje od 50 miliona godina.⁹ Pošto je nezavisno sugerisano da se zaista radi o članovima iste familije,¹⁰ sledilo bi da familija ne može biti starija od 50 miliona godina (ovome u prilog ide velika sličnost u pomašanju ova objekta). Ipak, opširniji proračuni (Knežević) ukazuju na nepotpunost prethodno korišćenih modela, odnosno njihovu preveliku uprošćenost, mada takođe procenjuju starost *Veritas* nakon nekoliko miliona godina grupacije na ispod 100 miliona godina.

Asteroid 2953 *Vysheslavia*, veličine 15 km u prečniku i lociran na samoj ivici Kirkyudove praznine i 5 : 2 orbitalne rezonance, je takođe upotrebljen za analizu određenih aspekata sudarne evolucije malih planeta i ispitivanje velike porodice *Koronis*. Numeričkom integracijom njegove orbite, inače stabilno haotične, otkriveno je da ova postaje izuzetno nestabilna već posle 10 miliona godina. Asteroid biva zahvaćen u rezonancu i, nakon nekoliko bliskih prilaza Jupitru, njegova orbita doživljava kvalitativnu transformaciju u hiperboličnu i on narušta Sunčev sistem (ovo je i inače najčešći ishod bliskih prilaza planetama koji su izvor snažnog haosa u asteroidnom kretanju). Pošto se ovde radi o haotičnoj orbiti, ovaj primer nije uzet kao autentična predikcija stvarne evolucije asteroida *Vysheslavia*, već su uradjeni slični testovi za određen broj klonova, dobijenih malom promenom početnih uslova. Zajedno sa kasnije pronadjenim, drugim, primerima sličnog ponašanja, ovi testovi su trenutno omogućili samo razne interpretacije nastanka i kasnije dinamičke evolucije velike porodice *Koronis*.

U poslednje vreme mnogo pažnje se daje mogućnostima sudara asteroida sa Zemljom. Orbite objekata koji prese-

⁹Pod uslovom da familija nije znatno veća nego što se to danas smatra; u tom slučaju, karakteristično vreme bi bilo veće.

¹⁰Ustanovljeno na osnovu fizičkih karakteristika.

caju putanje planeta, uključujući NEAe_{II} (asteroidi u blizini Zemlje) i komete, su snažno haotične zahvaljujući bliskim prilazima planetama. Iz paleonauka znamo da neki od njih zaista i udaraju u Zemlju. Današnje procene kažu da svega nekoliko njih veličine kilometra u prečniku udari u Zemlju u toku 1 milion godina; najveći deo tog broja čine upravo NEAi. Naravno, pretnju predstavljaju i oni asteroidi koji trenutno ne spadaju u klasu NEA, ali koji tokom svoje orbitalne evolucije počnu da presecaju putanje Zemlje. Rabinowitz *et al.* zaključuje da postoji ne više od oko 1000 NEAa većih od 1km u prečniku, za čije bi otkrivanje, po sadašnjem tempu, bilo potrebno još oko 20 godina.

O nacimu na koji mala tela iz različitih delova Sunčevog sistema stižu do Zemlje dugo su postojaće samo ideje i pretpostavke, da bi se tek početkom 80tih godina ovog veka došlo do prvih kvantitativnih rezultata (Williams razmatra uticaj sekularnih rezonanci, Wisdom pokazuje da materijal može dospeti do Zemlje pomoću haotičnih efekata u $3 : 1$ rezonanci). Neki od problema koji su i danas prisutni kod ovih modela su zanemarivanje uloge medjuasteroidnih sudara ili fizičkih osobina asteroida i meteorita. Sudari oslobođaju materijal iz roditeljskih tela u Glavnom pojusu i kontinualno ga usitnjavaju. Tokom nekog katastrofčnog dogadjaja, formiranja kratera na većim asteroidima ili orbitalne difuzije (usled zračenja i sličnih efekata), materijal može dospeti u rezonancu. Čak i nakon što počnu da presecaju putanje planeta, mnoga tela i dalje provode jedan deo revolucije u asteroidnom pojasu, izloženi daljim sudarima. Jedno vreme se verovalo da rezonance nižeg reda, poput one $3 : 1$, imaju najveći uticaj na mala tela i da upravo one produkuju NEAE. Ipak, novija

istraživanja ukazuju na to da su ove rezonance možda i *previše* snažne da bi proizvele NEAe ili meteorite (većina asteroida u ovim simulacijama je bila ili privučena od strane Sunca ili napustila Sunčev sistem). Brojne slabe rezonance i interakcije među rezonancama koje prizvode haotične efekte čine se mnogo verovatnijim uzrokom nastanka NEAa, dovoljno jakim (i, s druge strane, dovoljno osetljivim) mehanizmom koji je u stanju da poveća ekscentričnosti asteroida u pojasu dovoljno da bi oni poceli da presecaju putanju Marsa. Kao posledica bliskih susreta sa Marsom, oni bivaju izbačeni iz rezonanci u koje su bili zahvaćeni i tako evoluiraju, sve dok ne dodju u blizinu Zemlje kroz nekih desetak miliona godina (ovu evoluciju prate i pospešuju serije slabih rezonanci kroz koje asteroid kaskadno prolazi). Ovaj scenario, ipak, treba prihvatići sa rezervom, pošto je jed nedavno izložen raznim kritikama i preispitivanjima.

Asteroid 433 *Eros* jedan je od malih tela koja danas ne presecaju Zemljiju putanju, ali je zato izložen čestim susretima sa Marsom, što podstiče njegovo haotično ponašanje (na slici 10 se može videti nepravilan, izrazito izdužen oblik koji svedoči o burnoj kolizionoj evoluciji). Ina 22 km u prečniku i dupro je veći od objekta koji je načinio Chicxulub krater pre 65 miliona godina i, najverovatnije, izazvao izumiranje nekih živih vrsta. Sličan postupak praćenja klonova *Erosa* je korisćen i došlo se do zaključka da postoji verovatnoća od oko 5% da on počne da preseca putanju Zemlje i udari u nju nekad u budućnosti.

11 Near-Earth Asteroids



Slika 10: Asteroid 433 *Eros*, snimljen pomoću *NEAR* sonde, 13. februara 2000. godine

4 Zaključak

Vremenska integracija 10 asteroida koja je data u ovom pregledu a uradjena na deskop računaru, relativno je uspešna, u smislu da je autoru pružila potreban osećaj o tome na koji način se vrše današnja istraživanja u dinamici planetarnih sistema, kao i ideju o brojnim poteškoćama koje se sa ovom i sličnim metodama mogu javiti, počev od samog numeričkog aparata i kontrole greške, do obrade finalnih rezultata. Treba napomenuti da pristup problemu koji sam ovde sledio nije i jedini mogući (danas se za integraciju orbita, pre svega u kvalitativnim simulacijama, u hamiltonijanskim sistemima sa dominantnom centralnom masom koristi tzv. *simplektičko mape ranje*, koje je drugačije osmišljeno). Dobijeni rezultati su u dobroj saglasnosti sa očekivanim.

Što se tiče potencijalno opasnih asteroida, informacije koje su predstavljene u poglavljju 3 treba shvatiti krajnje uslovno; one se menjaju usled poboljšanja računara i

tehnike, što dovodi do neprestanog priliva novih podataka i ostavlja mnoga pitanja otvorenim. Tako je, recimo, broj potencijalno opasnih asteroida gotovo prepolovan u novijim studijama u odnosu na one od pre nekoliko godina; istovremeno, sada znamo i za neke druge regije stabilnosti u Sunčevom sistemu koji mogu služiti kao rezervoar sličnih objekata (neki delovi ultrašnjeg Sunčevog sistema, pojas između Urana i Neptuna, itd.).

Posebnu zahvalnost dugujem Zoranu Kneževiću za hardversku i softversku isporuču, kao i čisto ljudsku pažnju, razumevanje i beskrajno strpljenje. Takodje, mojoj profesorici, Nataši Čaluković, koja mi je dala pravo znanje i podstakla pravu ljubav prema fizici.

Literatura

- [1] Danby,J.M.A.: Fundamentals of Celestial Mechanics, 2nd edition, 1988, Richmond:Willman-Bell
- [2] Laskar,J.: A numerical experiment on the chaotic behaviour of the Solar system, *Nature*, vol.338
- [3] Knežević,Z.: Chaos in the motion of asteroids, 1999
- [4] Knežević,Z.: Proper elements of minor planets, Publ. Obs. Astron. Belgrade No. 48(1995), 7 – 30
- [5] Milani,A.,Nobili,A.M.,Knežević,Z.: Stable chaos in the asteroid belt, 1997, *Icarus* 125, 13 – 31
- [6] Rabinowitz, D., Helin, E., Lawrence, K., Pravdo, S.: *Nature* 403, 165 – 166
- [7] Applied Physics Laboratory, Johns Hopkins University, *NEAR* Mission Status, <http://near.jhuapl.edu>